

非鉛系高Tc強誘電体材料の開発

評価技術課 二口友昭* 角田龍則 機械電子研究所 坂井雄一
㈱北陸セラミック 雨宮圭司 坂口 忍

1. 緒 言

圧電方式の圧力センサーは、高感度で信頼性に優れているため、多くの分野で利用されている。特に、自動車エンジンの燃料噴射機構での応用が期待されている。しかし、高温環境であるため、キュリーポイントの高い圧電セラミックス材料が必要である。また環境への規制より、非鉛系であることが望ましい。一方スクリーン印刷法は、厚み数10μmの厚膜パターンが容易に形成できるため、マイクロセンサ素子や小型電子部品等の作製に有効である。ここでは、非鉛系の強誘電体材料としてキュリーポイントが高く比較的圧電性が大きい $\text{Bi}_4\text{Ti}_3\text{O}_{12}$ 系材料の開発を行った。 $\text{Bi}_4\text{Ti}_3\text{O}_{12}$ 系粉末を用いて作製したペーストをスクリーン印刷し、焼成により形成された厚膜について、組成と電気特性の関係を調べた。

2. 実験方法と結果

$\text{Bi}_{4-Y}\text{Nd}_Y\text{Ti}_{3-X}\text{V}_X\text{O}_{12}$ および $\text{Ba}_X\text{Bi}_4\text{Ti}_{3+X}\text{O}_{12+3X}$ について検討した。固相反応により合成された $\text{Bi}_4\text{Ti}_3\text{O}_{12}$ 系粉末と過剰の Bi_2O_3 粉末を所定量秤量し、エチルセルロース系のビヒクルを加え3本ロールで混練することにより厚膜ペーストを作製した。基板には厚み200μmの Y_2O_3 安定化 ZrO_2 を用いた。この上にPtペーストをスクリーン印刷し、1200°C 60min焼成して下部電極を作製した。さらに $\text{Bi}_4\text{Ti}_3\text{O}_{12}$ 系ペーストをスクリーン印刷し、所定温度で60minの焼成を行った。このプロセスを数回繰り返し、所定厚みの厚膜を形成した。上部電極はAgペーストをスクリーン印刷し、850°C 10minの焼成により作製した。バルク焼結体はプレス成形体を焼成して作製した。 $\text{Bi}_{4-Y}\text{Nd}_Y\text{Ti}_{3-X}\text{V}_X\text{O}_{12}$ 系では、V置換により焼結温度が低下するとともに抵抗率が向上した。さらにNd置換を行うと抵抗率がより向上するとともに残留分極が増大した。X=0.01,Y=1で残留分極9.6μC/cm²が得られた。図1は、 $\text{Bi}_{4-Y}\text{Nd}_Y\text{Ti}_{3-X}\text{V}_X\text{O}_{12}$ の電界誘起歪曲線を示す。圧電定数d₃₃は、X=0.01,Y=0.75のとき33pm/Vであり、X=0.01,Y=1のとき62pm/Vであった。図2は、 $\text{Bi}_{4-Y}\text{Nd}_Y\text{Ti}_{3-X}\text{V}_X\text{O}_{12}$ の断面SEM写真を示す。非常に緻密な組織であることがわかる。特にX=0.01,Y=0.75では、板状の粒子が基板に平行に並んでいるのが観察される。

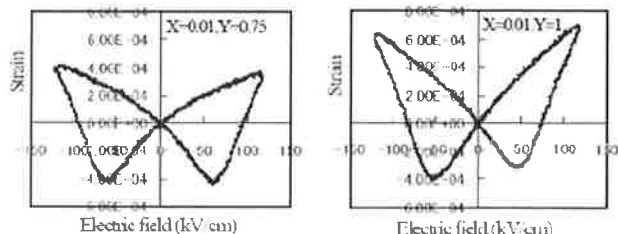


図1 $\text{Bi}_{4-Y}\text{Nd}_Y\text{Ti}_{3-X}\text{V}_X\text{O}_{12}$ の電界誘起歪曲線

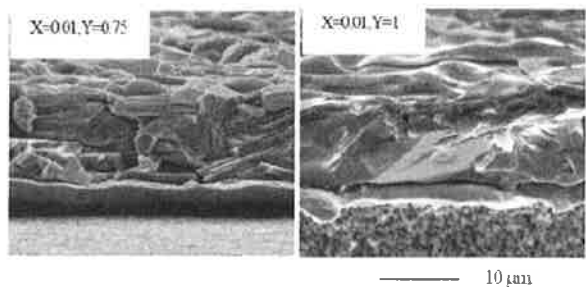


図2 $\text{Bi}_{4-Y}\text{Nd}_Y\text{Ti}_{3-X}\text{V}_X\text{O}_{12}$ の断面SEM写真

図3は $\text{Bax}\text{Bi}_4\text{Ti}_{3+X}\text{O}_{12+3X}$ 厚膜の分極-電界ヒステリシスを示す。150kV/cmの印加が可能であり十分飽和したヒステリシスが得られた。X=1およびX=2における残留分極は4.5μC/cm²および0.8μC/cm²であり、Xの増加により低下していた。一方比誘電率は260および410であり、Xの増加により増加した。これらは、いずれもバルク焼結体よりも小さな値であった。これは厚膜では、非分極軸であるC軸が配向していることによるものと考えられる。断面SEM写真から、X=1およびX=2とともに緻密な厚膜が得られていることが確認された。また、こちらも板状の粒子が基板に平行に配置される傾向がみられた。 $\text{BaBi}_4\text{Ti}_4\text{O}_{15}$ 厚膜のキュリーポイントは420°Cであった。

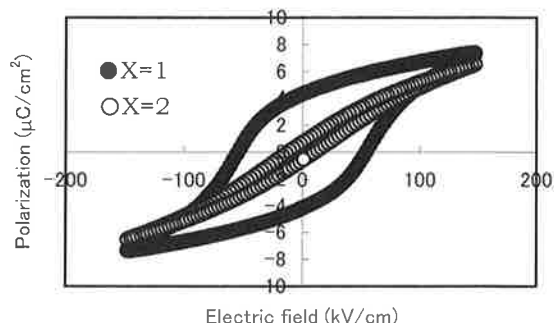


図3 $\text{Bax}\text{Bi}_4\text{Ti}_{3+X}\text{O}_{12+3X}$ 厚膜の分極-電界ヒステリシス曲線